### ФИЗИКА ТВЕРДОГО ТЕЛА И КОНДЕНСИРОВАННЫХ СРЕД

# УЧЕТ ВЛИЯНИЯ ПОДЛОЖКИ В ПЕРВОПРИНЦИПНЫХ РАСЧЕТАХ КОМБИНАЦИОННОГО РАССЕЯНИЯ В МОНОСЛОЕ МоS<sub>2</sub> НА КВАРЦЕ

Н. Л. Мацко, Д. А. Шохонов <sup>1</sup>, В. А. Осипов Объединенный институт ядерных исследований, Дубна

В рамках DFT изучается комбинационное рассеяние (KP) в монослое  $MoS_2$  на кварцевой подложке. Рассматривается несколько типов интерфейса  $MoS_2/SiO_2$ , которые могут реализовываться на практике. Первый тип интерфейса соответствует случаю «плотной» поверхности  $SiO_2$ . Далее рассматриваются интерфейсы с различными дефектами и шероховатостями на поверхности кварца, а также интерфейс при наличии химических связей S-O. Расчеты показывают, что в случае ван-дер-ваальсова взаимодействия подложка слабо влияет на KP в  $MoS_2$ , за исключением некоторых случаев с ярко выраженными дефектами поверхности на  $SiO_2$ . Влияние подложки при наличии химических связей S-O проявляется гораздо сильнее, приводя к заметному расщеплению и смещению E и A пиков KP в монослое  $MoS_2$ .

In the framework of DFT, Raman scattering in a  $MoS_2$  monolayer on a quartz substrate is studied. Several types of  $MoS_2/SiO_2$  interfaces that can be realized in practice are considered. The first type of interface corresponds to the case of a "dense"  $SiO_2$  surface. Interfaces with various defects and roughness on the quartz surface are considered, as well as an interface with S-O chemical bonds. Calculations show that in the case of van der Waals interaction, the substrate in general weakly affects Raman scattering in  $MoS_2$ . The influence of the substrate in the presence of S-O chemical bonds is much stronger, leading to a noticeable splitting and shift of the E and A Raman peaks in the  $MoS_2$  monolayer.

PACS: 44.25.+f; 44.90.+c

#### **ВВЕДЕНИЕ**

Двумерные системы, представляющие собой монослой дихальконегида переходных металлов  $MX_2$ , где M обозначает металл, а X — атом халькогена, представляют большой интерес для оптоэлектронных устройств, полевых транзисторов, элементов памяти и прочего из-за своих электронных свойств [1]. Обычно полагается, что монослой  $MX_2$  связан с подложкой, например  $SiO_2$ , слабым взаимодействием Ван-дер-Ваальса. Влиянием подложки на свойства  $MX_2$  пренебрегается. Однако при получении систем  $MX_2/SiO_2$  методом высокотемпературного синтеза, например CVD, могут

<sup>&</sup>lt;sup>1</sup>E-mail: shohonov@theor.jinr.ru

возникать химические связи X-O [2]. В таком случае влияние подложки на свойства монослоя  $MX_2$  становится существенным, и возникает задача адекватного описания такого влияния. Одним из наиболее распространенных экспериментальных инструментов по изучению систем  $MX_2$  на различных подложках является спектроскопия комбинационного рассеяния [3]. В работе [4] было показано, что спектр KP монослоя  $MoS_2$  изменяется подложкой, однако общего теоретического исследования влияния подложки на спектры комбинационного рассеяния в системах  $MX_2$ /подложка не проводилось. В настоящей работе в рамках DFT-подхода рассматриваются различные интерфейсы между монослоем  $MoS_2$  и подложкой  $SiO_2$  и анализируются получающиеся спектры KP. Расчеты показывают, что при взаимодействии Ван-дер-Ваальса влияние подложки на спектр комбинационного рассеяния  $MoS_2$  в основном незначительно, в то время как при образовании химических связей S-O влияние подложки приводит к существенным изменениям в спектре KP  $MoS_2$ .

#### **МЕТОДИКА РАСЧЕТА**

Расчеты DFT проводились с использованием кода Quantum Espresso (QE) [5]. Фононные возбуждения и спектры KP находились методом density functional perturbation theory (DFPT). Колебательный спектр системы определялся как собственные значения динамической матрицы:

$$\det \left| \frac{1}{\sqrt{M_I M_J}} \frac{\partial^2 E(R)}{\partial R_I \partial R_J} - \omega^2 \right| = 0, \tag{1}$$

где E(R) — энергия системы;  $R_I$  и  $M_I$  — координаты и массы ионов;  $\omega$  — собственные фононные частоты. Из теоремы Гельмана—Фейнмана может быть найдена производная полной энергии системы с волновой функцией  $\Psi_\lambda$  по параметру  $\lambda$ :

$$\frac{\partial E(\lambda)}{\partial \lambda} = \left\langle \Psi_{\lambda} \left| \frac{\partial H(\lambda)}{\partial \lambda} \right| \Psi_{\lambda} \right\rangle. \tag{2}$$

Если параметр  $\lambda$  — смещения ионов, можно записать

$$\frac{\partial E(R)}{\partial R_I} = \int \rho_R(r) \frac{\partial V_{R,r}^{i-\text{el}}}{\partial R_I} dr + \frac{\partial E_R^{i-i}}{\partial R_I},\tag{3}$$

$$V_{R,r}^{i-\text{el}} = -\sum_{I} \frac{Z_I e^2}{|r - R_I|}, \quad E_R^{i-i} = \frac{e^2}{2} \sum_{IJ} \frac{Z_I Z_J}{|R_J - R_I|},$$
 (4)

где  $V^{i-{
m el}}$  — потенциал электрон-ионного взаимодействия;  $E^{i-i}$  — энергия ион-ионного взаимодействия;  $\rho_R(r)$  — распределение электронной плотности. Дифференцируя (3) еще раз, находим матрицу вторых производных:

$$\frac{\partial^2 E(R)}{\partial R_I \, \partial R_J} = \int \frac{\partial \rho_R(r)}{\partial R_J} \frac{\partial V_{R,r}^{i-\text{el}}}{\partial R_I} dr + \int \rho_R(r) \frac{\partial^2 V_{R,r}^{i-\text{el}}}{\partial R_I \, \partial R_J} dr + \frac{\partial^2 E_R^{i-i}}{\partial R_I \, \partial R_J}. \tag{5}$$

Помимо равновесной  $\rho_R(r)$  в выражении (5) появляется отклик системы на возмущение  $\partial \rho_R(r)/\partial R_J$ . Дифференцируя плотность  $\rho=\psi\psi^*$  и подставляя одноэлектронные волновые функции  $\psi$  из линейного порядка теории возмущений, найдем возмущение плотности:

$$\Delta \rho(r) = 2 \sum_{n}^{\text{occup}} \sum_{m \neq n} \psi_n^*(r) \psi_m(r) \frac{\langle \psi_m | \Delta V_{\text{KS}} | \psi_n \rangle}{\epsilon_n - \epsilon_m}, \tag{6}$$

где  $\epsilon_n$  — энергия, соответствующая уровню  $\psi_n$ , а также:

$$\Delta V_{\rm KS}(r) = \Delta V_{\rm ext}(r) + e^2 \int \frac{\Delta \rho(r')}{|r - r'|} dr' + \frac{\partial V_{xc}}{\partial \rho} \Delta \rho(r). \tag{7}$$

Получим аналог уравнений Кона-Шема (уравнение Штернхаймера):

$$(H_{\rm scf} - \epsilon_n)|\Delta\psi_n\rangle = -\Delta V_{\rm KS}|\psi_n\rangle + \sum_{m=1}^{N/2} |\psi_m\rangle\langle\psi_m|\Delta V_{\rm KS}|\psi_n\rangle. \tag{8}$$

Уравнения (6)-(8) — набор самосогласованных связанных уравнений, из которых может быть найдено значение отклика, поляризуемости системы и т.д. Поляризация в направлении i:

$$P_{i} = -\frac{4e}{V} \sum_{n}^{\text{occup}} \langle \psi_{n} | r_{i} | \Delta^{E} \psi_{n} \rangle = -\frac{4e}{V} \sum_{n}^{\text{occup}} \sum_{m}^{\text{unocc}} \frac{\langle \psi_{n} | [\hat{H}_{\text{scf}}, \hat{r}_{i}] | \psi_{m} \rangle}{\epsilon_{m} - \epsilon_{n}} \langle \psi_{m} | \Delta^{E} \psi_{n} \rangle.$$
(9)

При этом  $P_i = \sum\limits_{j} lpha_{ij} E_j$ , где  $lpha_{ij}$  — поляризуемость системы. Зная поляризуемость  $\alpha_{ij}$ , в итоге получаем интенсивность KP:

$$I_k^{\text{Raman}} = \sum_{ij} \left| \frac{\partial \alpha_{ij}}{\partial R_k} \right|^2.$$
 (10)

Отметим одну особенность. Используя (9), можно показать, что  $P_{\alpha} \sim (\epsilon_c - \epsilon_v)^{-3}$ , где  $\epsilon_c - \epsilon_v$  соответствует значению запрещенной электронной щели в системе [6]. Когда значение запрещенной щели мало, расчет  $P_{\alpha}$  требует высокой плотности k-точек в зоне Бриллюэна. При этом необходимая плотность k-точек может оказаться существенно больше, чем требуется для стандартного самосогласованного расчета DFT. В рассмотренных интерфейсах MoS<sub>2</sub>/SiO<sub>2</sub> при наличии химических связей S-O величина запрещенной щели составляет 0,1 эВ и менее, что требует увеличения количества k-точек в расчете DFPT. В свою очередь, это делает затруднительным расчет в крупных сверхячейках. Чтобы преодолеть это ограничение, мы использовали пассивацию поверхности SiO<sub>2</sub>, противоположной интерфейсной, атомами водорода. Это позволяет сместить химический потенциал, получая значение щели в районе 0,3-0,4 эВ, и использовать для расчета DFPT k-сетку  $3 \times 3 \times 3$ , как и в самосогласованном расчете DFT.

## СПЕКТРЫ КОМБИНАЦИОННОГО РАССЕЯНИЯ В МОНОСЛОЕ MoS<sub>2</sub> НА ПОДЛОЖКЕ SiO<sub>2</sub>

Колебательные моды монослоя  $MoS_2$  в системе  $MoS_2/SiO_2$  зависят в том числе от структуры поверхности подложки  $SiO_2$ . Мы рассматриваем три различных типа поверхности  $SiO_2$ , которые могут быть реализованы в экспериментальных условиях. Первый тип соответствует так называемой «плотной» поверхности. Известно, что поверхность реального кристалла всегда претерпевает реконструкцию, что означает смещение положения атомов в приповерхностных слоях относительно позиций в случае объемного кристалла. Для кристалла  $SiO_2$  равновесным является состояние «плотной» поверхности [7]. Следующий тип интерфейса  $MoS_2/SiO_2$  соответствует поверхности  $SiO_2$  «с дефектами». Здесь мы рассматриваем ситуацию, когда поверхность  $SiO_2$  не полностью реконструирована, на небольших участках поверхности не произошла перестройка атомной структуры и состояние «плотной» поверхности не было достигнуто. Также рассматривался случай с дефектом в виде шероховатости поверхности  $SiO_2$ . Последний тип интерфейса содержит химические связи между атомами серы в  $MoS_2$  и атомами кислорода в  $SiO_2$ .

На рис. 1 представлены спектры комбинационного рассеяния монослоя  $MoS_2$ , рассчитанные для трех типов поверхности  $SiO_2$ : «плотная» поверхность, поверхность с дефектом в виде шероховатости и интерфейс с химическими связями S-O. В случае «плотной» поверхности (рис. 1,a) влияние подложки минимально, спектр KP в  $MoS_2$  практически не отличается от спектров в свободном монослое, демонстрируя две основные моды  $E^1_{2g}$  и  $A_{1g}$  [8]. Для поверхности  $SiO_2$  с дефектами взаимодействие  $MoS_2$  и  $SiO_2$  по-прежнему ван-дер-ваальсова типа, влияние подложки на KP в  $MoS_2$  весьма умеренно. На рис. 1, 6 показано KP в монослое  $MoS_2$  над поверхностью  $SiO_2$  с торчащим атомом кремния. Заметно снижение интенсивности  $A_{1g}$  пика KP, соответствующего поперечным колебаниям атомов в монослое. В случае образования химических связей S-O на интерфейсе  $MoS_2/SiO_2$  влияние подложки становится наиболее выраженным (рис. 1, a). Колебательные моды в спектре KP  $MoS_2$  расшепляются и появляются дополнительные пики смешанного типа от монослоя  $MoS_2$  и подложки  $SiO_2$ . Соответствующие приведенным KP-спектрам интерфейсы показаны на рис. 2.

Подводя итог, с помощью методов DFT и DFPT исследовано влияние подложки на спектр комбинационного рассеяния монослоя  $MoS_2$  на подложке  $SiO_2$ . Рассмот-

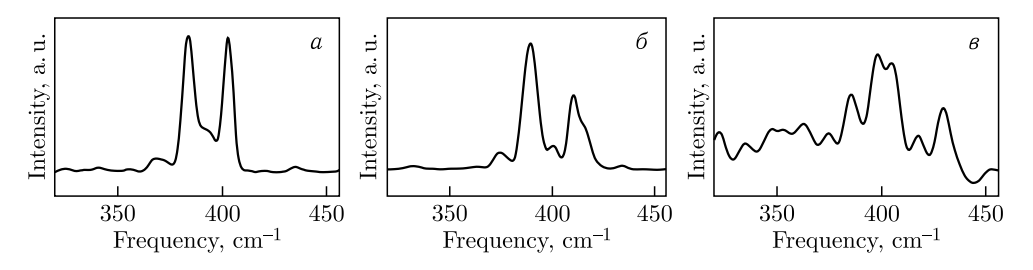


Рис. 1. Спектры комбинационного рассеяния для различных интерфейсов в системе  $MoS_2/SiO_2$ . a) Спектр KP в  $MoS_2/SiO_2$  для интерфейса с «плотной» поверхностью  $SiO_2$ . b) Пример спектра KP в  $MoS_2/SiO_2$  для интерфейса с шероховатостью на поверхности  $SiO_2$ . b) Пример спектра KP в  $MoS_2/SiO_2$  для интерфейса с химическими связями S-O

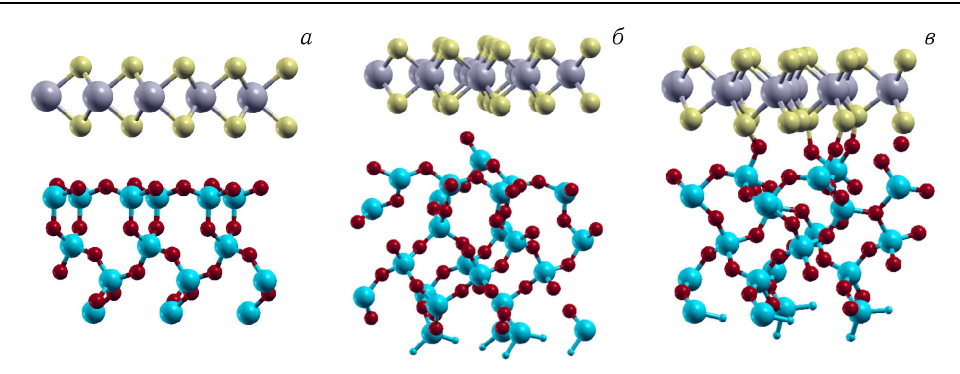


Рис. 2. Интерфейсы  $MoS_2/SiO_2$ , соответствующие спектрам КР на рис. 1. a) Интерфейс с «плотной» поверхностью SiO<sub>2</sub>. б) Интерфейс с шероховатостью на поверхности SiO<sub>2</sub>. в) Интерфейс с химическими связями S-O

рены типы интерфейса  $MoS_2/SiO_2$  с «плотной» поверхностью  $SiO_2$ , с поверхностью SiO<sub>2</sub>, содержащей дефекты, а также интерфейс с химическими связями S-O между подложкой SiO<sub>2</sub> и монослоем MoS<sub>2</sub>. Первые два интерфейса демонстрируют слабое влияние подложки на КР в МоS<sub>2</sub>, которое может проявляться в небольшом подавлении интенсивности одного из двух главных пиков —  $E^1_{2g}$  или  $A_{1g}$ . Взаимодействие монослой/подложка для этих интерфейсов имеет ван-дер-ваальсов характер. Наиболее заметно влияние подложки — для интерфейса, содержащего химические связи. В спектре появляется много дополнительных пиков, свидетельствующих об интенсивном спаривании колебательных возбуждений подложки и MoS<sub>2</sub>. Хотя описанное рассмотрение эффектов подложки на  $MoS_2$  не является исчерпывающим, оно, по нашему мнению, позволяет выявить основные особенности в спектрах КР для интерфейса типа  $MoS_2/SiO_2$ .

#### СПИСОК ЛИТЕРАТУРЫ

- 1. Li Sh., Ouyang D., Zhang Na, Zhang Yi, Murthy A., Li Yu., Liu Sh., Zhai T. // Adv. Mater. 2023. V. 35. P. 2211855.
- 2. Sohn W., Kwon K. C., Suh J. M., Lee T. H., Roh K. C., Jang Ho Won // Nano Convergence. 2021. V. 8. P. 11.
- 3. Li H., Zhang Q., Yap C. C. R., Tay B. K., Edwin T. H. T., Olivier A., Baillargeat D. // Adv. Funct. Mater. 2012. V. 22. P. 1385-1390.
- 4. Buscema M., Steele G.A., van der Zant H.S.J., Castellanos-Gomez A. // Nano Res. 2014. V. 7, No. 4. P. 561-571.
- 5. Giannozzi P. et al. Quantum Espresso: A Modular and Open-Source Software Project for Quantum Simulations of Materials // J. Phys.: Condens. Matter. 2009. V. 21. P. 395502.
- 6. Baroni S., de Gironcoli S., Dal Corso A., Giannozzi P. // Rev. Mod. Phys. 2001. V. 73.
- 7. Malyi O. I., Kulish V. V., Persson C. // RSC Adv. 2014. V. 4. P. 55599.
- 8. Molina-Sanchez A., Wirtz L. // Phys. Rev. B. 2011. V. 84. P. 155413.